

Beata BYLINA, Jarosław BYLINA

Uniwersytet Marii Curie-Skłodowskiej w Lublinie, Zakład Informatyki

ROZWIĄZYWANIE UKŁADÓW RÓWNAŃ METODĄ ROZKŁADU WZ Z WYKORZYSTANIEM BIBLIOTEK *BLAS1* I *BLAS2*

Streszczenie. W artykule zaprezentowano strategię wyboru elementu podstawowego, efektywny blokowo-punktowy algorytm rozwiązywania układów równań liniowych metodą rozkładu WZ macierzy na czynniki z wyborem elementu podstawowego oraz szczegóły jego implementacji z wykorzystaniem bibliotek *BLAS*. Przedstawiony algorytm rozkładu WZ jest szybszy niż klasyczny rozkład sekwencyjny – również niż ten z włączoną optymalizacją kompilatora.

Słowa kluczowe: rozkład WZ, algorytmy blokowe, *BLAS*, wybór elementu podstawowego

SOLVING LINEAR SYSTEMS USING THE METHOD OF WZ FACTORIZATION WITH *BLAS1* AND *BLAS2* LIBRARIES

Summary. In this article we want to present a strategy of pivoting, an efficient matrix-vector algorithm for solving linear systems by WZ matrix factorization with pivoting and details of its implementation with usage of *BLAS* libraries. The presented algorithm is faster than the sequential one.

Keywords: WZ factorization, block algorithms, *BLAS*, pivoting

1. Wprowadzenie

Rozwiązywanie układów równań

$$\mathbf{Ax} = \mathbf{b}, \text{ gdzie } \mathbf{A} \in \mathcal{R}^{n \times n}, \mathbf{b} \in \mathcal{R}^n \quad (1)$$

jest ważnym problemem w naukowych obliczeniach inżynierskich (takich jak np. modelowanie). Dla dużych układów równań ważny jest czas obliczeniowy, a on zależy (między innymi) od efektywności poszczególnych podprogramów. Aby program był wykonywany

w krótszym czasie, można kompilować go przy użyciu dostępnych opcji kompilatora bądź też można wykorzystywać wysoko wydajne biblioteki. W niniejszym artykule przedstawiono oba podejścia do rozwiązywania układów równań liniowych metodą rozkładu WZ – z wykorzystaniem wysoko wydajnych bibliotek BLAS oraz z włączoną opcją optymalizacyjną kompilatora (gcc -O3).

Jedną z metod rozwiązywania gęstych układów równań liniowych postaci (1) jest właśnie rozkład WZ na czynniki. Macierz A jest rozłożona do postaci: $A=WZ$, gdzie macierze W i Z oraz sposób rozwiązywania układów równań opisane są w sekcji 2. Taki rozkład istnieje dla macierzy nieosobliwej, co zostało pokazane w [2]. W sekcji 3 przedstawiono za [5] i [7] ideę algorytmu rozwiązywania równań (1) metodą rozkładu WZ macierzy na czynniki oraz strategię wyboru elementu podstawowego. W sekcji 4 opisano efektywny algorytm rozkładu WZ macierzy na czynniki z wyborem elementu podstawowego, używając do tego notacji macierzowo-wektorowej.

Następnie w sekcji 5 zaprezentowano szczegóły implementacji oraz wyniki eksperymentu numerycznego, jaki przeprowadzono dla algorytmów: sekwencyjnego rozkładu WZ oraz blokowo-punktowego rozkładu WZ. W sekcji 6 podsumowano wyniki eksperymentów.

2. Rozkład WZ macierzy na czynniki

Sekcja krótko przedstawia metodę rozkładu WZ rozwiązywania układów równań (1). Niech A będzie kwadratową macierzą nieosobliwą. Rozkład WZ (opisany w [2]) $A=WZ$, w którym macierze W i Z mają następujące kolumny wektorów w_i i wektory wierszy z_i :

$$\begin{aligned} w_i &= (0, \dots, 0, \underbrace{1}_{j}, w_{i+1,i}, \dots, w_{n-i,i}, 0, \dots, 0)^T, i = 1, \dots, m, \\ w_i &= (0, \dots, 0, \underbrace{1}_{i}, 0, \dots, 0)^T, i = p, q, \\ w_i &= (0, \dots, 0, \underbrace{w_{n-i+2,i}, \dots, w_{i-1,i}}_{n-i+1}, 1, 0, \dots, 0)^T, i = q + 1, \dots, n, \\ z_i^T &= (0, \dots, 0, \underbrace{z_{ii}, \dots, z_{i,n-i+1}}_{i-1}, 0, \dots, 0), i = 1, \dots, p, \\ z_i^T &= (0, \dots, 0, \underbrace{z_{i,n-i+1}, \dots, z_{ii}}_{n-1}, 0, \dots, 0), i = p + 1, \dots, n, \end{aligned} \quad (2)$$

gdzie

$$m = \lfloor (n-1)/2 \rfloor, \quad p = \lfloor (n+1)/2 \rfloor, \quad q = \lceil (n+1)/2 \rceil.$$

Na przykład dla przypadku, gdy $n = 5$ i $n = 6$, zachodzi:

$$W = \begin{bmatrix} 1 & 0 & 0 & 0 & 0 \\ w_{21} & 1 & 0 & 0 & w_{25} \\ w_{31} & w_{32} & 1 & w_{34} & w_{35} \\ w_{41} & 0 & 0 & 1 & w_{45} \\ 0 & 0 & 0 & 0 & 1 \end{bmatrix}, \quad Z = \begin{bmatrix} z_{11} & z_{12} & z_{13} & z_{14} & z_{15} \\ 0 & z_{22} & z_{23} & z_{24} & 0 \\ 0 & 0 & z_{33} & 0 & 0 \\ 0 & z_{42} & z_{43} & z_{44} & 0 \\ z_{51} & z_{52} & z_{53} & z_{54} & z_{55} \end{bmatrix}, \quad n = 5$$

$$W = \begin{bmatrix} 1 & 0 & 0 & 0 & 0 & 0 \\ w_{21} & 1 & 0 & 0 & 0 & w_{26} \\ w_{31} & w_{32} & 1 & 0 & w_{35} & w_{36} \\ w_{41} & w_{42} & 0 & 1 & w_{45} & w_{46} \\ w_{51} & 0 & 0 & 0 & 1 & w_{56} \\ 0 & 0 & 0 & 0 & 0 & 1 \end{bmatrix}, \quad Z = \begin{bmatrix} z_{11} & z_{12} & z_{13} & z_{14} & z_{15} & z_{16} \\ 0 & z_{22} & z_{23} & z_{24} & z_{25} & 0 \\ 0 & 0 & z_{33} & z_{34} & 0 & 0 \\ 0 & 0 & z_{43} & z_{44} & 0 & 0 \\ 0 & z_{52} & z_{53} & z_{54} & z_{55} & 0 \\ z_{61} & z_{62} & z_{63} & z_{64} & z_{65} & z_{66} \end{bmatrix}, \quad n = 6$$

Po wykonaniu rozkładu można rozwiązać dwie pary układów, używając macierzy W i Z do otrzymania rozwiązania x (c jest tu pośrednim wektorem pomocniczym):

$$Wc = b,$$

$$Zx = c.$$

3. Algorytm sekwencyjny rozkładu WZ

Klasyyczny algorytm rozwiązywania układów równań (1) metodą rozkładu WZ składa się z dwóch części: redukcji macierzy A do macierzy Z oraz wyznaczania rozwiązania równania x . Pierwsza część polega na wyzerowaniu kolejnych fragmentów kolumn macierzy A . W pierwszym kroku zeruje się elementy w pierwszej i n -tej kolumnie od drugiego do $n-1$ wiersza. Następnie uaktualnia się macierz A i wektor b . Bardziej formalnie można to zapisać (za pracami [2] oraz [7]) dla pierwszego kroku:

Obliczyć w_{i1} i w_{in} z układu równań:

$$\begin{cases} a_{11}w_{i1} + a_{n1}w_{in} = -a_{i1} \\ a_{1n}w_{i1} + a_{nn}w_{in} = -a_{in}, \quad \text{dla } i = 2, \dots, n-1. \end{cases} \quad (3)$$

Uaktualnić wewnętrzną podmacierz macierzy A o rozmiarze o 2 mniejszym od wyjściowego oraz wewnętrzny podwektor wektora b – także o rozmiarze o 2 mniejszym:

$$a_{ij} \leftarrow a_{ij} + w_{i1}a_{1j} + w_{in}a_{nj}, \quad j = 2, \dots, n-1, \quad i = 2, \dots, n-1,$$

$$b_i \leftarrow b_i + w_{i1}b_1 + w_{in}b_n, \quad i = 2, \dots, n-1.$$

Analogicznie przeprowadzone zostają następne kroki dla wewnętrznych kwadratowych podmacierzy (o rozmiarze za każdym razem o dwa mniejszym od poprzedniego rozmiaru), która jest zmieniana podczas poprzedniego kroku oraz z podwektorami wektora b . Po m

krokach tego procesu otrzymuje się macierz \mathbf{Z} postaci (2) w miejsce macierzy \mathbf{A} , zaś w miejsce wektora \mathbf{b} – wektor \mathbf{c} wyliczony z układu $\mathbf{Wc}=\mathbf{b}$.

Drugą częścią metody WZ rozwiązywania układów równań jest wyznaczenie szukanego rozwiązania \mathbf{x} z równania $\mathbf{Zx}=\mathbf{b}$. Metoda polega na rozwiązaniu pewnego układu dwu równań i wyznaczeniu z nich x_p oraz x_q , a następnie uaktualnieniu wektora \mathbf{b} . Formalnie można to zapisać dla pierwszego kroku następująco:

1) Obliczyć x_p i x_q z układu:

$$\begin{cases} z_{pp}x_p + z_{pq}x_q = b_p \\ z_{qp}x_p + z_{qq}x_q = b_q \end{cases} \quad (4)$$

Zaktualizować wektor \mathbf{b} :

$$b_i \leftarrow b_i - z_{ip}x_p - z_{iq}x_q, \quad i = 1, \dots, p-1, q+1, \dots, n. \quad (5)$$

Dla n nieparzystego układ (4) redukuje się (w pierwszym kroku) tylko do jednego równania. Analogicznie przeprowadza się następne kroki dla wewnętrznych układów równań 2×2 .

3.1. Strategia wyboru elementu podstawowego

Należy zauważyć, że rozkład WZ nie działa, jeśli wyznacznik główny układu (3) jest równy zero, tzn. gdy w k -tym kroku zachodzi równość $a_{kk}a_{n-k+1, n-k+1} = a_{k, n-k+1}a_{n-k+1, k}$. Zaradzić temu można zamieniając kolejność równań, a więc poprzez tzw. wybór częściowy (ang. *pivoting*). Zaproponowano następującą strategię wyboru. W każdym kroku (kroki indeksowane są indeksem k) należy wyznaczyć takie i_1 oraz i_2 ($k \leq i_1 < i_2 \leq n-k+1$), by:

$$\left| \det \begin{bmatrix} a_{i_1, k} & a_{i_1, n-k+1} \\ a_{i_2, k} & a_{i_2, n-k+1} \end{bmatrix} \right| = \max_{k \leq i < j \leq n-k+1} \left| \det \begin{bmatrix} a_{ik} & a_{i, n-k+1} \\ a_{jk} & a_{j, n-k+1} \end{bmatrix} \right|,$$

a więc żeby dany wyznacznik był co do modułu największy. Następnie zamienia się k -ty wiersz z wierszem i_1 oraz $n-k+1$ wiersz z wierszem i_2 ; analogicznie wymienia się wyrazy: b_k z b_{i_1} oraz b_{n-k+1} z b_{i_2} . Otrzymuje się metodę niezawodną, jeśli chodzi o rozwiązanie dla macierzy nieosobliwej, dodatkowo nie grozi nadmiar przy aktualizacji macierzy \mathbf{A} oraz wektora \mathbf{b} (podczas obliczania macierzy \mathbf{Z} oraz wektora \mathbf{c}). Na potrzeby niniejszego artykułu oznaczono sekwencyjny algorytm rozwiązywania układów równań (1) z opisanym tu wyborem elementu podstawowego nazwą **AWZ**. Wybór elementu podstawowego zapewnia numeryczną poprawność algorytmu, a więc jego najwyższą jakość ze względu na błędy wytworzone przez algorytm **AWZ** w rachunku numerycznym. Jego złożoność czasowa jest rzędu $O(n^3)$.

4. Algorytm blokowo-punktowy

Sekcja przedstawia blokowo-punktowy algorytm rozkładu WZ na czynniki (za [1]) oraz wykorzystujący go algorytm rozwiązywania układu równań liniowych. Jest to efektywny sekwencyjny algorytm, w którym od nowa pogrupowano i uporządkowano operacje skalarne w operacje macierzowo-wektorowe. Opisany tu jest algorytm z wyborem elementu podstawowego, czyli działający dla każdej macierzy nieosobliwej A . Strategia wyboru elementu podstawowego jest taka, jak to opisano w poprzedniej sekcji. Macierze A , W i Z zapisuje się jako macierze blokowe:

$$A = \begin{bmatrix} a_{11} & \mathbf{a}_{1*}^T & a_{1n} \\ \mathbf{a}_{*1} & \hat{A} & \mathbf{a}_{*n} \\ a_{n1} & \mathbf{a}_{n*}^T & a_{nn} \end{bmatrix} = \begin{bmatrix} 1 & \mathbf{0}^T & 0 \\ \mathbf{w}_{*1} & \hat{W} & \mathbf{w}_{*n} \\ 0 & \mathbf{0}^T & 1 \end{bmatrix} \begin{bmatrix} z_{11} & \mathbf{z}_{1*}^T & z_{1n} \\ 0 & \hat{Z} & 0 \\ z_{n1} & \mathbf{z}_{n*}^T & z_{nn} \end{bmatrix} =$$

$$\begin{bmatrix} z_{11} & & \mathbf{z}_{1*}^T & & z_{1n} \\ \mathbf{w}_{*1}z_{11} + \mathbf{w}_{*n}z_{n1} & & \mathbf{w}_{*1}\mathbf{z}_{1*}^T + \hat{W}\hat{Z} + \mathbf{w}_{*n}\mathbf{z}_{n*}^T & & \mathbf{w}_{*1}z_{1n} + \mathbf{w}_{*n}z_{nn} \\ z_{n1} & & \mathbf{z}_{n*}^T & & z_{nn} \end{bmatrix} = WZ,$$

gdzie \hat{W} i \hat{Z} są macierzami kwadratowymi o postaci odpowiednio W i Z (ale o rozmiarze o dwa mniejszym niż A), zaś \hat{A} jest pełną macierzą kwadratową. \mathbf{a}_{1*}^T , \mathbf{a}_{n*}^T , \mathbf{z}_{1*}^T oraz \mathbf{z}_{n*}^T to wektory poziome (o $n-2$ elementach), a \mathbf{a}_{*1} , \mathbf{a}_{*n} , \mathbf{w}_{*1} , \mathbf{w}_{*n} – wektory pionowe (także mające $n-2$ elementów). Przez porównanie odpowiednich elementów uzyskano:

$$\begin{aligned} a_{11} &= z_{11}; & a_{1n} &= z_{1n}; & a_{n1} &= z_{n1}; & a_{nn} &= z_{nn} \\ \mathbf{a}_{1*}^T &= \mathbf{z}_{1*}^T; & \mathbf{a}_{n*}^T &= \mathbf{z}_{n*}^T; \\ \begin{cases} \mathbf{a}_{*1} = \mathbf{w}_{*1}z_{11} + \mathbf{w}_{*n}z_{n1} \\ \mathbf{a}_{*n} = \mathbf{w}_{*1}z_{1n} + \mathbf{w}_{*n}z_{nn} \end{cases} & & & & & & & (6) \\ \hat{A} &= \mathbf{w}_{*1}\mathbf{z}_{1*}^T + \hat{W}\hat{Z} + \mathbf{w}_{*n}\mathbf{z}_{n*}^T. \end{aligned}$$

Korzystając ze wzorów (6) można nieformalnie zapisać algorytm w następujący sposób:

1. Przypisać pierwszy wiersz macierzy A pierwszemu wierszowi macierzy Z .

Przypisać ostatni wiersz macierzy A ostatniemu wierszowi macierzy Z .

Wyznaczyć \mathbf{w}_{*1} oraz \mathbf{w}_{*n} wyliczone z układu równań:

$$\mathbf{w}_{*1} \leftarrow \alpha \mathbf{a}_{*n} - \beta \mathbf{a}_{*1}, \quad \alpha = \frac{z_{n1}}{z_{1n}z_{n1} - z_{11}z_{nn}}, \quad \beta = \frac{z_{nn}}{z_{1n}z_{n1} - z_{11}z_{nn}}$$

$$\mathbf{w}_{*n} \leftarrow \gamma \mathbf{a}_{*1} - \delta \mathbf{a}_{*n}, \quad \gamma = \frac{z_{1n}}{z_{1n}z_{n1} - z_{11}z_{nn}}, \quad \delta = \frac{z_{11}}{z_{1n}z_{n1} - z_{11}z_{nn}}.$$

Zaktualizować wewnętrzną podmacierz macierzy A o rozmiarze $n-2$ (bez pierwszego i ostatniego wiersza i bez pierwszej i ostatniej kolumny):

$$\hat{A} \leftarrow \hat{W}\hat{Z} = \hat{A} - w_{*1}z_1^T - w_{*n}z_n^T$$

$n \leftarrow n-2$

Jeżeli $n > 2$, to wrócić do punktu 1.

Po wykonaniu powyższego algorytmu wyznaczone już są macierze W i Z postaci (2). Pozostaje tylko rozwiązać równanie postaci $Wc=b$. Równanie to można zapisać macierzowo-wektorowo:

$$\begin{bmatrix} 1 & 0^T & 0 \\ w_{*1} & \hat{W} & w_{*n} \\ 0 & 0^T & 1 \end{bmatrix} \begin{bmatrix} c_1 \\ \hat{c} \\ c_n \end{bmatrix} = \begin{bmatrix} b_1 \\ \hat{b} \\ b_n \end{bmatrix}, \quad (7)$$

gdzie \hat{W} oznacza macierz kwadratową o rozmiarze o dwa mniejszym od poprzedniego, a w_{*1} , w_{*n} , \hat{c} , \hat{b} oznaczają wektory pionowe o rozmiarze o dwa mniejszym od wyjściowego. Korzystając z zapisu (7) można napisać algorytm wyznaczania wektora c :

$$1. \quad c_1 \leftarrow b_1$$

$$\hat{b} \leftarrow \hat{b} - w_{*1}b_1 - w_{*n}b_n$$

$$c_n \leftarrow b_n$$

$n \leftarrow n-2$.

Jeżeli $n > 2$, to wrócić do punktu 1.

Układ równań $Zx=c$ rozwiązuje się klasycznie, tzn. od środka rozwiązując układy równań 2×2 i aktualizując wektor b .

Przy użyciu notacji *MATLABa* [4] zapisano poniżej blokowo-punktowy algorytm rozwiązywania równania $Ax=b$ w następującej postaci dla macierzy o rozmiarze parzystym (nie ma straty ogólności – dla rozmiaru nieparzystego drobna różnica jest tylko przy rozwiązywaniu układu $Zx=c$):

% pętla eliminacji – kroki redukcji:

for k = 0:m

 k2 = n-k-1

% tu wybór elementu podstawowego...

% ...zamiana wierszy...

% ...i zamiana elementów wektora b

 det = A(k2, k)*A(k, k2) - A(k, k)*A(k2, k2);

 alfa=A(k2, k)/det;

 beta=A(k2, k2)/det;

 gama=A(k, k2)/det;

 delta=A(k, k)/det;


```

% wyznaczenie współczynników macierzy W
W(k+1:k2-1;k)=alfa* A(k+1:k2-1,k2)-beta* A(k+1:k2-1,k);
W(k+1:k2-1;k2)=gama* A(k+1:k2-1,k)-delta* A(k+1:k2-1,k2);
% uaktualnienie macierzy A
A(k+1:k2-1,k+1:k2-1)=A(k+1:k2-1,k+1:k2-1)- W(k+1:k2-1;k)
*A(k,k+1:k2-1)- W(k+1:k2-1;k2)* A(k2,k+1:k2-1);
% uaktualnienie b
b(k+1:k2-1) = b(k+1:k2-1) + wk(k+1:k2-1)*b(k)
+wk2(k+1:k2-1)*b(k2)
% znajdowanie rozwiązań x
for j = m:0
% rozwiązywanie układu równań 2x2
j2 = n - j + 1
det = A(j, j)*A(j2, j2) - A(j, j2)*A(j2, j)
x(j) = (b(j)*A(j2, j2) - b(j2)*A(j, j2))/det
x(j2) = (b(j2)*A(j, j) - b(j)*A(j2, j))/det
% uaktualnienie b(1:j-1)
b(1:j-1) = b(1:j-1)-x(j)*A(1:j-1,j) - x(j2)* A(1:j-1,j2)
% uaktualnienie b(n-j+2:n)
b(n-j+2:n)=b(n-j+2:n)-x(j)*A(n-j+2:n,j)-x(j2)
*A(n-j+2:n,j2)

```

Dla potrzeb niniejszego artykułu przedstawiony algorytm oznaczono przez **B2WZ**, jego złożoność czasowa jest rzędu $O(n^3)$.

5. Implementacja i eksperyment numeryczny

Algorytmy **AWZ** i **B2WZ** zostały zaimplementowane w języku C [6] dla liczb rzeczywistych o pojedynczej precyzji. Programy skompilowano przy użyciu dostępnego kompilatora języka C pod Linuxa (*gcc*), dodatkowo **B2WZ** przy kompilacji miał dołączone potrzebne biblioteki *BLAS1* i *BLAS2* (*Basic Linear Algebra Subprograms*, korzystano z biblioteki *ATLAS* [3], która jest implementacją *BLASa* automatycznie dostrajającą się do architektury maszyny). *BLAS1* i *BLAS2* to zestaw podprogramów umożliwiających wykonywanie podstawowych obliczeń algebry liniowej. *BLAS1* zawiera operacje typu wektor-wektor, zaś *BLAS2* zawiera operacje macierz-wektor. Przy wyznaczaniu współczynników macierzy **W** użyto funkcji *axpy* ($y \leftarrow y + \alpha x$) oraz *scal* ($y \leftarrow \alpha y$), zaś uaktualnienie macierzy **A**

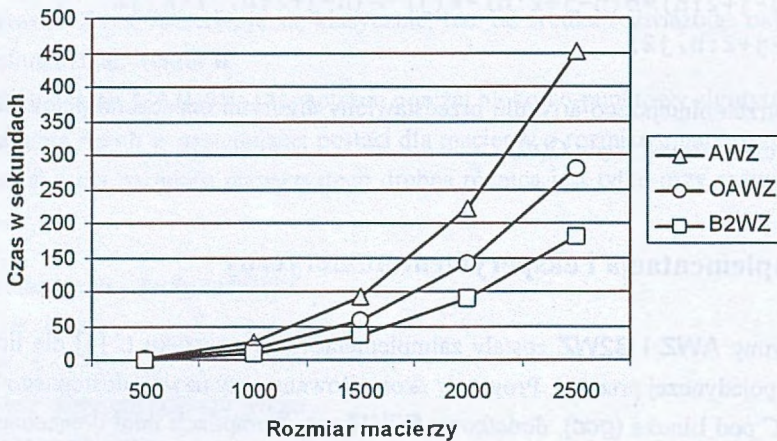
wymagało funkcji biblioteki *BLAS2 syr* ($A \leftarrow A + \alpha xy^T$). Dodatkowo w części drugiej algorytmu – przy znajdowaniu rozwiązania x – użyto funkcji *axpy* ($y \leftarrow y + \alpha x$) do uaktualniania wektora b .

Każdy z algorytmów był kompilowany na dwa sposoby: z wykorzystaniem wbudowanej optymalizacji algorytmu przez kompilator (`gcc -O3`) oraz bez tej optymalizacji (`gcc -O0`). W przypadku algorytmu **B2WZ** optymalizacja przez kompilator nie zmienia wyników, stąd nie bierze się jej w poniższych omówieniach pod uwagę. Natomiast wyniki algorytmu **AWZ** skompilowanego z opcją optymalizacji oznaczane są na wykresach przez **OAWZ**, ponieważ różnią się wyraźnie od nieoptymalizowanych.

Powyższy algorytm testowano na trzech różnych komputerach PC (512 MB pamięci RAM każdy):

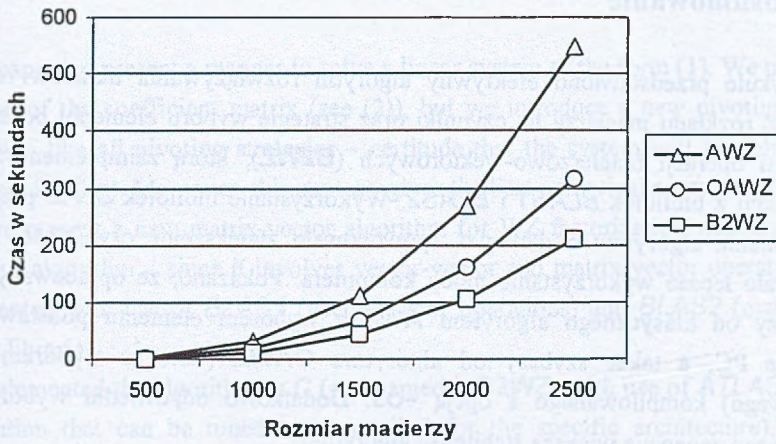
- 1) dwuprocessorowym Pentium III 733 MHz (rys. 1);
- 2) jednoprocessorowym Pentium III 667 MHz (rys. 2);
- 3) jednoprocessorowym Pentium IV 1.4 GHz (rys. 3).

Oba algorytmy uruchamiano dla macierzy nieosobliwych. Otrzymane rezultaty są prezentowane na wykresach na rys. 1–3. Można zauważyć, że przedstawiony algorytm **B2WZ** wykonuje się najkrócej i szybkość jego działania jest najwyższa.



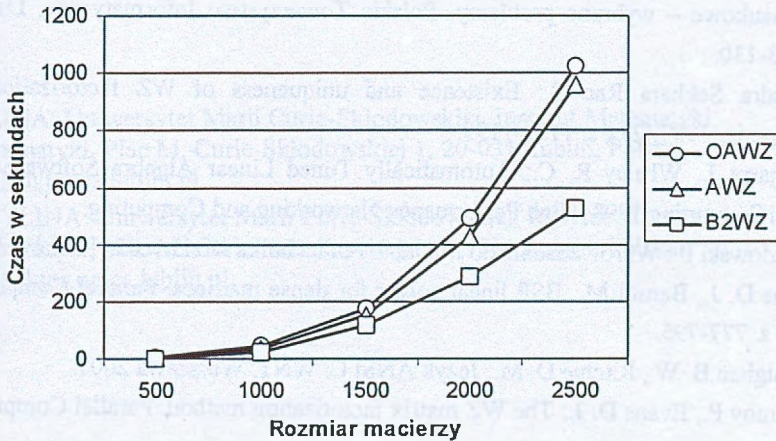
Rys. 1. Czas wykonywania badanych algorytmów dla macierzy różnych rozmiarów na komputerze o dwóch procesorach Pentium III 733 MHz

Fig. 1. Time performance of analyzed algorithms for matrices of various sizes – a dual Pentium III 733 MHz processor machine



Rys. 2. Czas wykonywania badanych algorytmów dla macierzy różnych rozmiarów na komputerze o jednym procesorze Pentium III 667 MHz

Fig. 2. Time performance of analyzed algorithms for matrices of various sizes – a Pentium III 667 MHz processor machine



Rys. 3. Czas wykonywania badanych algorytmów dla macierzy różnych rozmiarów na komputerze o jednym procesorze Pentium 4 1.4 GHz

Fig. 3. Time performance of analyzed algorithms for matrices of various sizes – a Pentium 4 1.4 GHz processor machine

6. Podsumowanie

W artykule przedstawiono efektywny algorytm rozwiązywania układów równań (1) metodą WZ rozkładu macierzy na czynniki oraz strategię wyboru elementu podstawowego przy użyciu operacji macierzowo-wektorowych (**B2WZ**), którą zaimplementowano przy użyciu funkcji z bibliotek *BLAS1* i *BLAS2*. Wykorzystanie bibliotek *BLAS* przyspieszyło czas wykonania algorytmu dodatkowo, spowodowało zwiększenie czytelności kodu oraz spowodowało lepsze wykorzystanie mocy komputera. Pokazano, że opracowany algorytm jest szybszy od klasycznego algorytmu **AWZ** z wyborem elementu podstawowego na komputerze PC, a także szybszy od algorytmu **OAWZ** (także z wyborem elementu podstawowego) kompilowanego z opcją `-O3`. Dodatkowo odpowiedni wybór elementu podstawowego zapewnia większą stabilność algorytmu.

LITERATURA

1. Bylina B., Bylina J., Stpicyński P.: Blokowo-punktowy rozkład WZ macierzy. Obliczenia naukowe – wybrane problemy. Polskie Towarzystwo Informatyczne, Lublin 2003, s. 123-130.
2. Chandra Sekhara Rao S.: Existence and uniqueness of WZ factorization. *Parallel Computing*, 1997 (23), s. 1129-1139.
3. Dongarra J., Whaley R. C.: Automatically Tuned Linear Algebra Software (ATLAS). *SuperComputing 1998: High Performance Networking and Computing*.
4. Drozdowski P.: Wprowadzenie do Matlaba. Politechnika Krakowska, Kraków 1996.
5. Evans D. J., Barulli M.: BSP linear solver for dense matrices. *Parallel Computing*, 1998 (24), s. 777-795.
6. Kernighan B. W., Ritchie D. M.: Język ANSI C. WNT, Warszawa 2001.
7. Yalamov P., Evans D. J.: The WZ matrix factorization method. *Parallel Computing*, 1995 (21), s. 1111-1120.

Recenzent: Prof. dr hab. inż. Tadeusz Czachórski

Wpłynęło do Redakcji 18 sierpnia 2003 r.

Abstract

In this paper we present a manner to solve a linear system of the form (1). We use the WZ factorization of the coefficient matrix (see (2)), but we introduce a new pivoting strategy, which gives – like all pivoting strategies – certitude that the system will be solved (if the matrix is not singular). Moreover, this strategy gives the best numerical correctness.

Next we present a new matrix-vector algorithm for WZ factorization with our pivoting strategy. Our algorithm – since it involves vector-vector and matrix-vector operations – can be implemented with use of *BLAS1* (vector-vector operations) and *BLAS2* (matrix-vector operations) libraries.

We implemented the algorithm in *C* (and named it **B2WZ**) with use of *ATLAS* (a *BLAS* implementation that can be tuned and compiled for the specific architecture). Next we compare (using different machines) its performance with the performance of the traditional (not matrix-vector) algorithm with pivoting (**AWZ**) and with the traditional one with pivoting compiled with built-in compiler optimization on (**OAWZ**). The results (displayed in figures 1-3) show that our algorithm and implementation is much faster than both **OAWZ** and **AWZ**.

Adresy

Beata BYLINA: Uniwersytet Marii Curie-Skłodowskiej, Instytut Matematyki,
Zakład Informatyki, Plac M. Curie-Skłodowskiej 1, 20-031 Lublin, Polska,
beatas@golem.umcs.lublin.pl.

Jarosław BYLINA: Uniwersytet Marii Curie-Skłodowskiej, Instytut Matematyki,
Zakład Informatyki, Plac M. Curie-Skłodowskiej 1, 20-031 Lublin, Polska,
jmbylina@hektor.umcs.lublin.pl.